

(19)



Europäisches Patentamt  
European Patent Office  
Office européen des brevets



(11) Veröffentlichungsnummer: **0 472 899 A1**

(12)

## EUROPÄISCHE PATENTANMELDUNG

(21) Anmeldenummer: **91112286.9**

(51) Int. Cl.<sup>5</sup>: **G01N 15/14, G01N 21/85,  
G01N 21/53**

(22) Anmeldetag: **23.07.91**

(30) Priorität: **01.08.90 DE 4024420**

(43) Veröffentlichungstag der Anmeldung:  
**04.03.92 Patentblatt 92/10**

(84) Benannte Vertragsstaaten:  
**AT BE CH DE ES FR GB IT LI NL**

(71) Anmelder: **BASF Aktiengesellschaft  
Carl-Bosch-Strasse 38  
W-6700 Ludwigshafen(DE)**

(72) Erfinder: **Ettmueller, Juergen  
Gillergasse 9  
W-6733 Hassloch(DE)  
Erfinder: Eustachi, Wolfgang  
Neugaertenring 2  
W-6832 Hockenheim(DE)  
Erfinder: Hagenow, Andreas  
Trifelsstrasse 39  
W-6520 Worms 21(DE)  
Erfinder: Polke, Reinhard, Dr.  
Alemannenstrasse 9  
W-6704 Mutterstadt(DE)  
Erfinder: Raedle, Matthias, Dr.  
Haalbergstrasse 18  
W-6719 Weisenheim(DE)  
Erfinder: Schaefer, Michael, Dr.  
Dhauner Strasse 11a  
W-6700 Ludwigshafen(DE)**

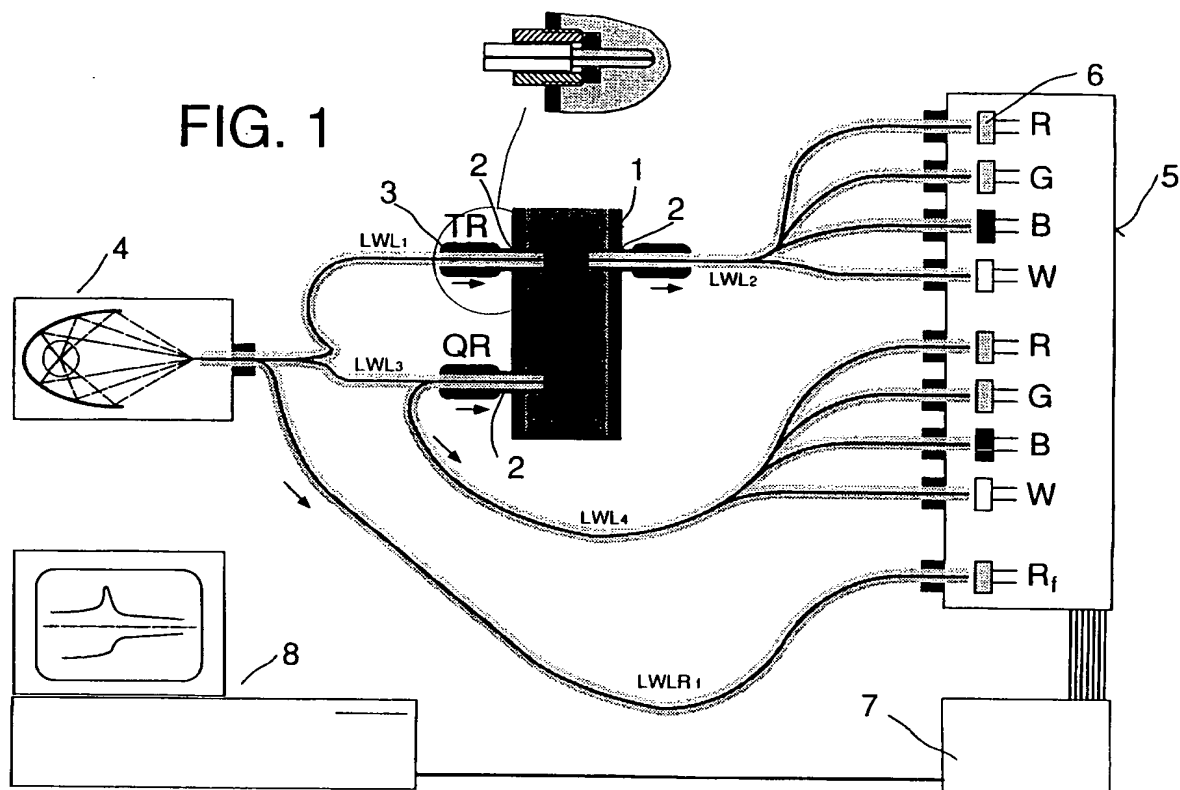
(54) **Photometrische Messeinrichtung.**

(57) Mit der Meßeinrichtung wird die von einer Lichtquelle zu einem Detektor in Abhängigkeit von einer Probe gelangende Lichtintensität bestimmt. Hierzu ist eine durchströmbare Küvette (1) für die Probe in

eine von einer Lichtquelle (4) zu einem Lichtdetektor (5) geführte Lichtwellenleiterverbindung (LWL) eingefügt. Der bzw. die Lichtwellenleiter (LWL) ragen dabei über Öffnungen (2) unmittelbar in die Küvette.

EP 0 472 899 A1

FIG. 1



Die Erfindung betrifft eine photometrische Einrichtung zur Messung des Dämpfungsgrades bei der Lichtausbreitung in dispersen Systemen, bestehend aus einer durchströmbaren Küvette für die zu untersuchende Probe mit mindestens einer seitlichen Öffnung zum optischen Anschluß mindestens eines Lichtwellenleiters einer von einer Lichtquelle zu einem Lichtdetektor geführten Lichtwellenleiterverbindung an das Innere der Küvette zur Erzeugung eines Meßsignals und aus einer direkten Lichtwellenleiterverbindung zur Erzeugung eines Referenzsignals sowie aus einem an den Lichtdetektor angeschlossenen Auswertegerät.

Das physikalische Prinzip einer photometrischen Messung ist die Bestimmung der von einer Lichtquelle zu einem Detektor gelangenden Lichtintensität in Abhängigkeit der Eigenschaften einer Probe, z.B. eines dispersen Systems. Je nachdem wie Lichtquelle, Probenvolumen und Detektor angeordnet und ausgeführt sind, ergeben sich verschiedene Abhängigkeiten des gemessenen Signals von der Streu- und Absorptionswirkung einer Lösung, Suspension oder Emulsion.

Die Lichtausbreitung bzw. ihre Dämpfung ist nämlich eine Funktion der dispersen Suspensions-eigenschaften, genauer gesagt der spezifischen Streuung und Absorption. Innerhalb gewisser Grenzen läßt sich von den optischen Eigenschaften auf die allgemeinen dispersen Eigenschaften zurückschließen, was in vielen Fällen die Grundlage für eine Prozeßsteuerung liefern kann. Je nach Produkt ergeben sich unterschiedliche Anforderungen an die Art der Messung, was Geometrie und Größe des Meßvolumens sowie die verwendeten Wellenlängen angeht, z.B. Transmission mit Infrarot oder Remission mit Weißlicht.

Um als Meßverfahren für eine Prozeßsteuerung in Frage zu kommen, müssen folgende Voraussetzungen erfüllt sein:

das Probenvolumen muß ständig erneuert werden, am besten kontinuierlich, und

eine Verfälschung sowohl des Produktzustandes selbst, z.B. durch Probennahme als auch durch Verschmutzung, Absetzung oder Entmischung im Meßvolumen muß vermieden werden.

Die dispersen Systeme in Produktionsprozessen sind in der Regel hoch konzentriert, eine Verdünnung kommt normalerweise nicht in Frage. Unter diesen Randbedingungen muß eine photometrische Messung noch mit hinreichender Empfindlichkeit und Stabilität möglich sein.

Die Interpretation der dabei erhaltenen Meßsignale ist bisher weitgehend unbekannt. Die theoretischen Grundlagen für die Beschreibung der Lichtausbreitung in hochkonzentrierten, stark streuenden und stark absorbierenden Medien sind z.Z. noch unvollständig; sie behandeln allenfalls Teilaspekte. über die praktische Nutzung der Photometrie in

derartigen Medien (z.B. fein gemahlene Farbpigmente in Konzentrationen um 20 %), die über die bekannten Anwendungen von kommerziellen Farbmeßgeräten, z.B. an Lackpigmenten, hinausgeht (die Remission kann an hellen Pigmenten im Purton gemessen werden, an dunklen nicht), ist wenig bekannt.

Beim Einsatz von Photometern an hochkonzentrierten (z.B. 20 %) Suspensionen dunkler Pigmente treten z.B. folgende Probleme auf:

Anordnungen, die noch durchströmt werden können, lassen sich nicht mehr durchstrahlen oder umgekehrt.

Die Geometrien, die für die Aufgabenstellung am aussagekräftigsten wären, stehen nicht zu Verfügung.

Das direkte Übersprechen von Beleuchtung zu Empfänger überstrahlt das Nutzsignal um Größenordnungen.

Der optische Aufbau schwankt in seinen Übertragungseigenschaften um 10 % oder mehr (zwangsläufige Eigenschaft herkömmlicher Faserbündel).

Der Detektor driftet und rauscht im DC-Modus zu stark, gepulste Systeme sind zu unempfindlich.

Es sind bereits einige Systeme, auch faseroptische vorhanden, die für manche Prozesse eingesetzt werden können. Typischerweise sind es Systeme für großflächige Trübungs- oder Transmissionsmessung oder für Remissionsmessung im Sinne der kommerziellen Farbmeßgeräte.

So ist aus der DE-A-38 33 899 eine spektralfotometrische Einrichtung zur Fernmessung bekannt, bei der an Sonden, beispielsweise Küvetten, mittels Fenster Lichtwellenleiter von einem Meßlichtgerät und zu einem Restlicht verarbeitenden Gerät angeschlossen sind und zwischen einer als Meßlichtquelle dienenden Blitzlampe und einem Strahlteiler ein antreibbares Filterrad angeordnet ist.

Es handelt sich hier um eine Verbesserung der üblichen Photometer, indem durch eine Pulsformung die Genauigkeit der Messung der Referenz und des Nutzsignales verbessert wird. Unbeachtet bleibt hier aber nach wie vor das Problem, daß für die Konstanz der Messung selbst keine Referenz existieren kann und viele störanfällige Grenzflächen im unkontrollierten Teil des Strahlengangs liegen. Die Verwendung eines gepulsten Systems bringt Nachteile bei der Detektion. Für den beschriebenen Zweck mag dies von untergeordneter Bedeutung sein, aber dies schließt einen Einsatz bei sehr dunklen, hochkonzentrierten Systemen aus.

Ebenso verhält es sich bei einer ähnlich aufgebauten, in der DE-A-34 12 620 beschriebenen laseroptischen Anordnung für Einzelteilchen-Analysen von Dispersionen und Suspensionen zur Ermittlung des Dispergiergrades.

Ausgehend von den vorstehend geschilderten photometrischen Meßeinrichtungen liegt vorliegender Erfindung die Aufgabe zugrunde, eine photometrische Einrichtung zu entwickeln, mit der die dispersen Eigenschaften von dispersen Systemen mittels der Messung des Dämpfungsgrades bei der Lichtausbreitung in solchen Systemen bestimmt werden können. Dabei soll die Anzahl der optischen Grenzflächen möglichst gering sein und eine hohe Meßempfindlichkeit erreicht werden.

Die Aufgabe wurde durch eine photometrische Meßeinrichtung der eingangs geschilderten Art gelöst, bei der gemäß der Erfindung der Lichtwellenleiter durch die seitliche Öffnung unmittelbar in das Innere der Küvette ragt und ein Gleichlichtdetektor mit einer Empfindlichkeit zwischen 20 pW/V und 2 mW/V bei 0 bis 13 V Ausgangsspannung und einem Rauschanteil kleiner 1 mV vorgesehen ist.

Weitere, in den Unteransprüchen angeführte Einzelheiten und Vorteile der erfindungsgemäßen Meßeinrichtung sind anhand in der Zeichnung dargestellter Ausführungsbeispiele nachfolgend beschrieben.

Es zeigen

- Figur 1 den Aufbau der photometrischen Meßeinrichtung in einem Gesamtschema
- Figuren 2-5 verschiedene Lichtwellenleiteranordnungen
- Figur 6 die Schaltung des Gleichlichtdetektors
- Figur 7 zusammengeführte Faserenden im Längsschnitt

Bei der in Figur 1 schematisch dargestellten Meßanordnung sind drei Betriebsarten zu unterscheiden:

Transmission:

gemessen wird das durch das Meßvolumen hindurchtretende Licht.

Quasirückstreuung:

gemessen wird das Licht, welches infolge der diffusen Lichtausbreitung im dispersen Medium wieder in die Einstrahlrichtung rückgestreut wird, aber in eine andere Faser eintritt

Remission:

gemessen wird das Licht, welches an der medienseitigen Grenzfläche eines den Lichtwellenleiter abschließenden transparenten Flächenelements diffus reflektiert wird, aber in der Regel nicht der Reflex der Grenzfläche selbst.

Zentrales Teil der photometrischen Meßeinrichtung (Figur 1) ist eine durchströmbare Küvette 1, durch die eine Probe der zu untersuchenden Suspension fließen kann. Durch seitliche Öffnungen 2 in der Küvette ragen zur Erzeugung eines Meßsignals in den Innenraum die Enden eines senden-

den und eines empfangenden Lichtwellenleiters (nachfolgend kurz LWL genannt) LWL 1 und LWL 2 für Transmissionsmessung sowie eines sendenden LWL 3 und empfangenden LWL 4 für Rückstreuung bzw. Remissionsmessung. Hierzu sind die Faserenden der LWL in spezielle Stecker 3 eingeklebt, die in der eng tolerierten Bohrung 2 präzise geführt, jedoch längs verschiebbar bleiben. Sie werden mit Spannhülsen und O-Ringen fixiert und abgedichtet. Die LWL sind sendeseitig mit einer Lichtquelle 4 und empfangsseitig mit einem Lichtdetektor 5 verbunden. Eine direkte LWL-Verbindung  $R_i$  von der Lichtquelle zum Lichtdetektor dient als Referenzverbindung. Als Lichtquelle können eine stabilisierte Weißlichtquelle hoher Leuchtdichte, beispielsweise eine Xenon-Kurzbogenlampe mit elliptischem Reflektor, oder eine Halogenlampe mit Kondensor oder eine stabilisierte LED zur Anwendung kommen.

Die LWL bestehen aus hochwertigen, speziell geschützten Einzelfasern, um für die LWL-Verbindungen eine hohe optische Stabilität zu gewährleisten.

Der Lichtdetektor 5 ist ein in Figur 6 gezeigter Gleichlichtdetektor mit einer Empfindlichkeit zwischen 20 pW/V und 2 mW/V bei 0 bis 13 V Ausgangsspannung und einem Rauschanteil kleiner 1 mV, dessen Eingang mit PIN-Dioden 6 als Empfänger für die LWL-Signale ausgestattet ist. Eine Wellenlängenselektion, z.B. für eine empfangsseitig mehrkanalige LWL-Anordnung in den Farben ROT, GRÜN, BLAU, WEISS, wird dadurch erhalten, daß PIN-Dioden mit aufgedampften Interferenzfiltern verwendet werden. Zum Anschluß der LWL an die Lichtquelle 4 und die Empfänger 6 werden handelsübliche SMA-Stecker verwendet.

Die Schaltung des Lichtdetektors 5 besteht aus zwei Verstärkungsstufen OP1 und OP2. Zunächst wird der Photostrom der PIN-Diode mit einem Operationsverstärker OPA1 als I/U Wandler verstärkt. Die Diode liegt zwischen dem invertierenden und dem nicht invertierenden Eingang des OPA1, wobei letzterer gegen Masse geschaltet ist. Der Photostrom fließt in dieser Schaltung über einen der 7 Meßbereichswiderstände R (1 kOhm bis 1 GOhm) zum Ausgang des OPA1, wobei an der Diode selbst so gut wie keine Spannung anliegt, was den temperaturabhängigen Dunkelstrom der Diode eliminiert. Die Ausgangsspannung ergibt sich dann direkt aus Photostrom mal Meßwiderstand. Diese Spannung wird in der zweiten Verstärkerstufe OP2 noch einmal um den Faktor 10 verstärkt, wobei im Gegenkopplungszweig Kapazitäten C für eine Begrenzung des Frequenzganges sorgen (aus 1 MOhm und 10  $\mu$ F ergeben sich z.B. 0,1 Hz als obere Frequenz). Damit kann das Rauschen (100  $\mu$ V<sub>ss</sub> bei 10 Hz) noch vermindert werden. Die Temperaturdrift liegt bei ca. 100  $\mu$ V/K.

Der Lichtdetektor 5 ist über einen Analog/Digital-Wandler 7 mit einem Auswertegerät 8 verbunden. Dieses besteht aus einem Rechner, der entweder die A/D-Wandler als Steckkarten aufnimmt, oder über eine serielle (RS 232C) oder parallele (IEEE 488) Schnittstelle mit einer externen Einheit verbunden ist, und einer Software, die die Meßwerte erfaßt und auswertet. Die Auswertung besteht zunächst darin, den Spannungswert unter Berücksichtigung der eingestellten Empfindlichkeiten in eine Lichtstärke umzurechnen, diese wiederum unter Berücksichtigung der Beleuchtungsstärke in eine Dämpfung. Je nach Anwendung werden diese Werte dann mit Schwellenwerten bzw. mit Sollkurven verglichen, es werden Verhältnisse, Differenzen und Summen gebildet, und es werden die Signale verschiedener Sensoren an rechnerische Modelle des beobachteten Prozesses angepaßt. Die Ausgabe erfolgt in Form einer kontinuierlichen graphischen Anzeige, einer Abspeicherung der Daten auf File, und gegebenenfalls wird die Beurteilung des Signals auf eine einfache "Gut/Schlecht"-Aussage reduziert.

In den Figuren 2 bis 5 sind verschiedene LWL-Anordnungen schematisch dargestellt:

Die in Figur 2 gezeigte Anordnung für Transmissionsbetrieb weist sendeseitig einen LWL 1 mit 8 Einzelfasern  $SF_8$  und einen Referenz-LWL mit einer Faser auf. Empfangsseitig ist ein einkanaliger LWL 2 mit einer Faser  $EF_1$  (strichlierte Darstellung) oder eine dreikanalige LWL-Verbindung LWL 2''' mit jeweils zwei Fasern  $EF_2$  vorgesehen.

Für einen Betrieb mit Quasirückstreuung ist in einer Öffnung 2 der Küvette das Ende eines LWL 3/4 mit sowohl einer Sendefaser  $SF_1$  als auch einer oder mehreren Empfangsfasern  $EF_2$  in ein- oder mehrkanaliger (Figur 3) Ausführung angeordnet.

Eine weitere, ebenfalls in Figur 3 dargestellte Ausführungsform für diese Betriebsweise kann darin bestehen, daß paarweise nebeneinander drei Sendefasern  $SF_3$  und drei Empfangsfasern  $EF_1$  vorgesehen werden. Dabei ist es zweckmäßig, die miteinander korrespondierenden, in die Küvette ragenden Fasernenden so anzuschleifen, daß Cladding C1 und Kern K der Fasern bis zu deren Mitte abgetragen sind und die dabei entstandenen quasitangentialen Schleifflächen unter Zwischenlage eines sehr dünnen Metallplättchens  $Mp$  (10-20  $\mu m$ ) paarweise anliegen (Figur 7).

Eine ähnliche LWL-Anordnung ist in Figur 4 für Remission gezeigt. Der in einer Öffnung 2 an die Küvette 1 angeschlossene LWL 3/4 kann entsprechend einem ein- oder mehrkanaligen Betrieb eine oder mehrere Sendefasern  $SF_3$  und pro Kanal eine Empfangsfaser  $EF_1$  enthalten. Die Enden der Fasern sind mit einem transparenten Flächenelement, beispielsweise einer 400 bis 700  $\mu m$  starken Glasplatte  $Gp$ , abgeschlossen, wobei die Endabschnitte

der Sendefasern unter einem Winkel von  $45^\circ$  zum Flächenelement geneigt sind, d.h. die Lichteinstrahlung erfolgt unter  $45^\circ$ , die Detektion unter einem Winkel von  $0^\circ$ , d.h. senkrecht zur Grenzfläche. Die Enden der Send- und Empfangsfasern sind dabei paarweise in Reihe angeordnet (unsymmetrische Anordnung).

Eine vorteilhafte Variante dieser Anordnung besteht in einer konzentrischen Verteilung vieler Sendefasern  $SF_n$  auf einem  $45^\circ$  Kegelstumpfmantel um das bzw. die Enden der Empfangsfasern  $EF_1$  - (symmetrische Anordnung).

In einer Anordnung für gedämpfte Totalreflexion (ATR-Technik) sind die Enden der Fasern mit einem Prisma P entsprechend dem Strahlengang der Totalreflexion anstelle des Flächenelementes abgeschlossen (strichlierte Darstellung). Die Enden der Send- und Empfangsfasern sind wiederum paarweise in Reihe angeordnet, jedoch ohne Neigung der Endabschnitte der Sendefasern.

Eine weitere Remissionsanordnung (Figur 5) entsteht, wenn man eine Sendefaser  $SF_1$  und 3 Empfangsfasern  $EF_1$  nicht senkrecht auf das Flächenelement  $Gp$  stoßen läßt, sondern auf eine dickere, ca. 3 m lange Faser  $SF_1$  so daß sich an dieser Übergangsstelle eine Faserweiche W bildet. Das küvettenseitige Ende der dickeren Faser ist um  $25^\circ$  abgeschrägt, d.h. der Winkel zur Faserachse beträgt nicht  $90^\circ$ , sondern  $65^\circ$ , um den Endreflex auszublenden.

Die Einsatzmöglichkeiten der photometrischen Einrichtung nach der Erfindung sind vielfältig; z.B. zur Bestimmung der Farbe von Suspensionen oder der Größe der darin verteilten Feststoffpartikel oder der Feststoffkonzentration. Dabei können diese Messungen auch gleichzeitig durchgeführt werden. Dadurch ist es möglich, Produktionsprozesse mit dispersen Phasen laufend zu überwachen, Führungsgrößen für eine Prozeßregelung zu erhalten und die Qualität der dabei hergestellten Feststoffe vorzubestimmen.

## Patentansprüche

1. Photometrische Einrichtung zur Messung des Dämpfungsgrades bei der Lichtausbreitung in dispersen Systemen, bestehend aus einer durchströmbaren Küvette (1) für die zu untersuchende Probe mit mindestens einer seitlichen Öffnung (2) zum optischen Anschluß mindestens eines Lichtwellenleiters (LWL) einer von einer Lichtquelle (4) zu einem Lichtdetektor (5) geführten Lichtwellenleiterverbindung an das Innere der Küvette zur Erzeugung eines Meßsignals und aus einer direkten Lichtwellenleiterverbindung (LWL  $R_1$ ) zur Erzeugung eines Referenzsignals sowie aus einem an den Lichtdetektor (5) angeschlossenen Auswertegerät

(8), dadurch gekennzeichnet, daß der Lichtwellenleiter (LWL) durch die seitliche Öffnung (2) unmittelbar in das Innere der Küvette (1) ragt und ein Gleichlichtdetektor (5) mit einer Empfindlichkeit zwischen 20 pW/V und 2 mW/V bei 0 bis 13 V Ausgangsspannung und einem Rauschanteil kleiner 1 mV vorgesehen ist.

2. Photometrische Einrichtung nach Anspruch 1, dadurch gekennzeichnet, daß die über die Küvette (1) geführte Lichtwellenleiterverbindung empfangsseitig mehrkanalig ausgeführt ist und die den einzelnen Kanälen zugeordneten Empfänger (6) wellenlängenselektive Empfindlichkeiten besitzen. 10
3. Photometrische Einrichtung nach Anspruch 1 und 2, dadurch gekennzeichnet, daß in einer Transmissionsanordnung der Lichtwellenleiterverbindung an die Küvette (1) ein senderseitiger Lichtwellenleiter (LWL 1) und diesem gegenüber ein empfängerseitiger Lichtwellenleiter (LWL 2) angeschlossen sind. 15
4. Photometrische Einrichtung nach Anspruch 1 und 2, dadurch gekennzeichnet, daß in einer Quasirückstreuungsanordnung der Lichtwellenleiterverbindung an die Küvette (1) ein Lichtwellenleiter (LWL 3) mit einer oder mehreren Sendefasern ( $SF_1$ ,  $SF_3$ ) und einer oder mehreren Empfängerfasern ( $EF_1$ ,  $EF_2$ ) angeschlossen ist. 20
5. Photometrische Einrichtung nach Anspruch 4, dadurch gekennzeichnet, daß die küvettenseitigen Enden der Sende- und Empfängerfasern ( $SF_3$ ,  $EF_1$ ) paarweise nebeneinander angeordnet und Cladding und Kern der Faserenden durch Anschleifen bis zu deren Mitte abgetragen sind, so daß die dabei entstandenen quasitangentialen Schleifflächen unter Zwischenlage eines sehr dünnen Metallplättchens paarweise anliegen. 25
6. Photometrische Einrichtung nach Anspruch 1 und 2, dadurch gekennzeichnet, daß in einer Remissionsanordnung der Lichtwellenleiterverbindung an die Küvette (1) ein Lichtwellenleiter (LWL 3/4) mit einer oder mehreren Sendefasern (SF) und Empfängerfasern (EF) angeschlossen ist und die Faserenden mit einem transparenten Flächenelement ( $G_p$ ) abgeschlossen sind, wobei die Endabschnitte der Sendefasern (SF) unter einem Winkel von  $45^\circ$  zum Flächenelement geneigt sind. 30
7. Photometrische Einrichtung nach Anspruch 6, dadurch gekennzeichnet, daß die Enden vieler Sendefasern ( $SF_n$ ) konzentrisch auf einem  $45^\circ$  35

Kegelstumpfmantel um das bzw. die Enden der Empfängerfasern ( $EF_1$ ) angeordnet sind.

8. Photometrische Einrichtung nach Anspruch 1 und 2, dadurch gekennzeichnet, daß in einer Remissionsanordnung der Lichtwellenleiterverbindung an die Küvette (1) ein Lichtwellenleiter (LWL 1) mit einer Faser ( $SF_1$ ) angeschlossen ist, deren Endfläche unter einem Winkel von  $25^\circ$  zur Vertikalen angeschliffen ist, und die Empfängerfaser bzw. -fasern ( $EF_1$ ) mittels einer optischen Weiche (W) ausgekoppelt sind. 40
9. Photometrische Einrichtung nach Anspruch 1, dadurch gekennzeichnet, daß in einer Anordnung für gedämpfte Totalreflexion (ATR) der Lichtwellenleiterverbindung an die Küvette (1) ein Lichtwellenleiter (LWL 3/4) mit mehreren, in jeweils einer Reihe angeordneten Sendefasern ( $SF_3$ ) und Empfängerfasern ( $EF_1$ ) angeschlossen ist und die beiden Faserreihen an ihren Enden mit einem Prisma (P) entsprechend dem Strahlengang der Totalreflexion abgeschlossen sind. 45
10. Photometrische Einrichtung nach Anspruch 1 bis 9, dadurch gekennzeichnet, daß die den einzelnen Empfangskanälen zugeordneten Empfänger (6) des Lichtdetektors (5) PIN-Dioden mit aufgedampften Interferenzfiltern für unterschiedliche Lichtwellenlängen sind. 50

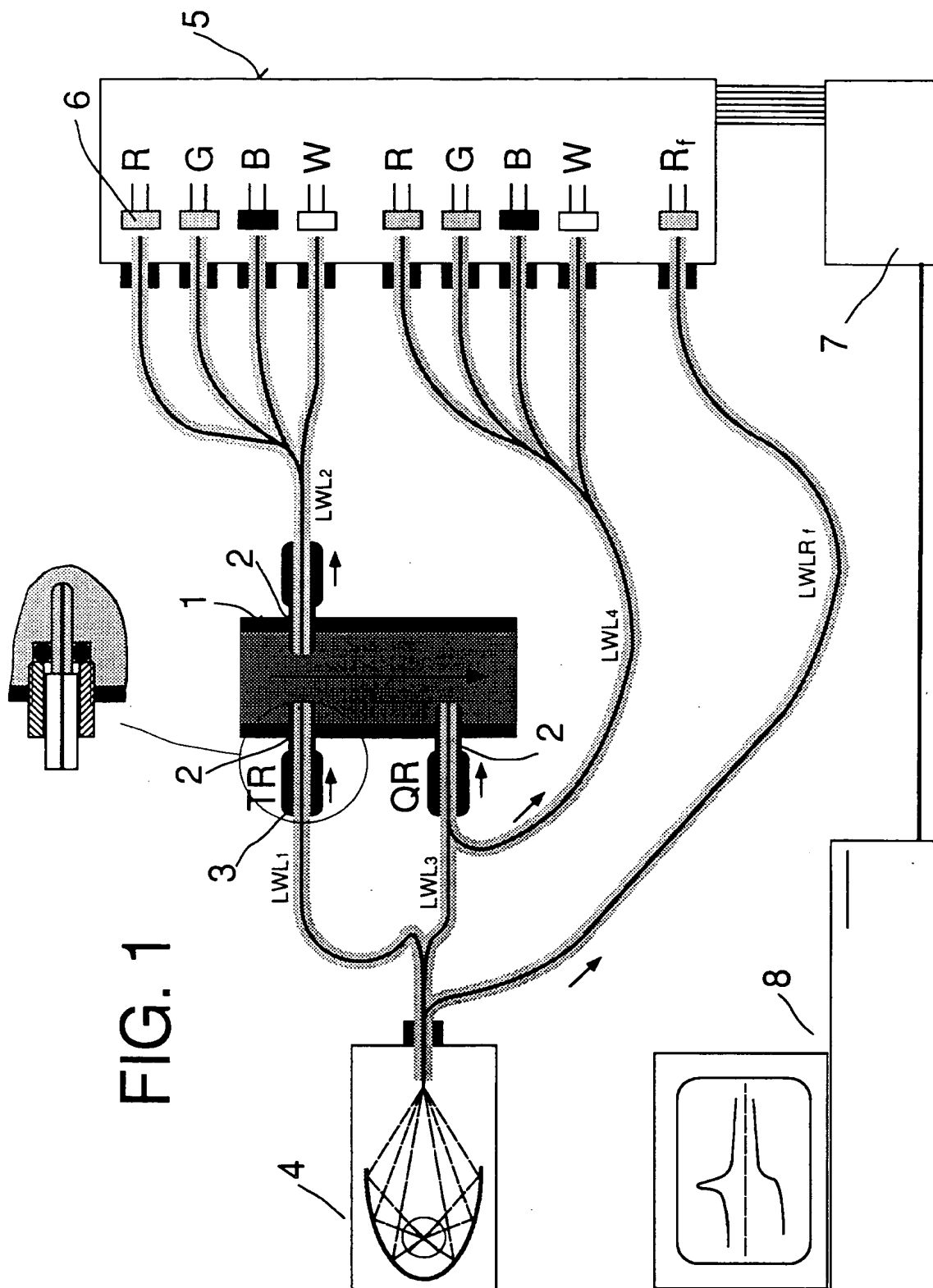


FIG. 2

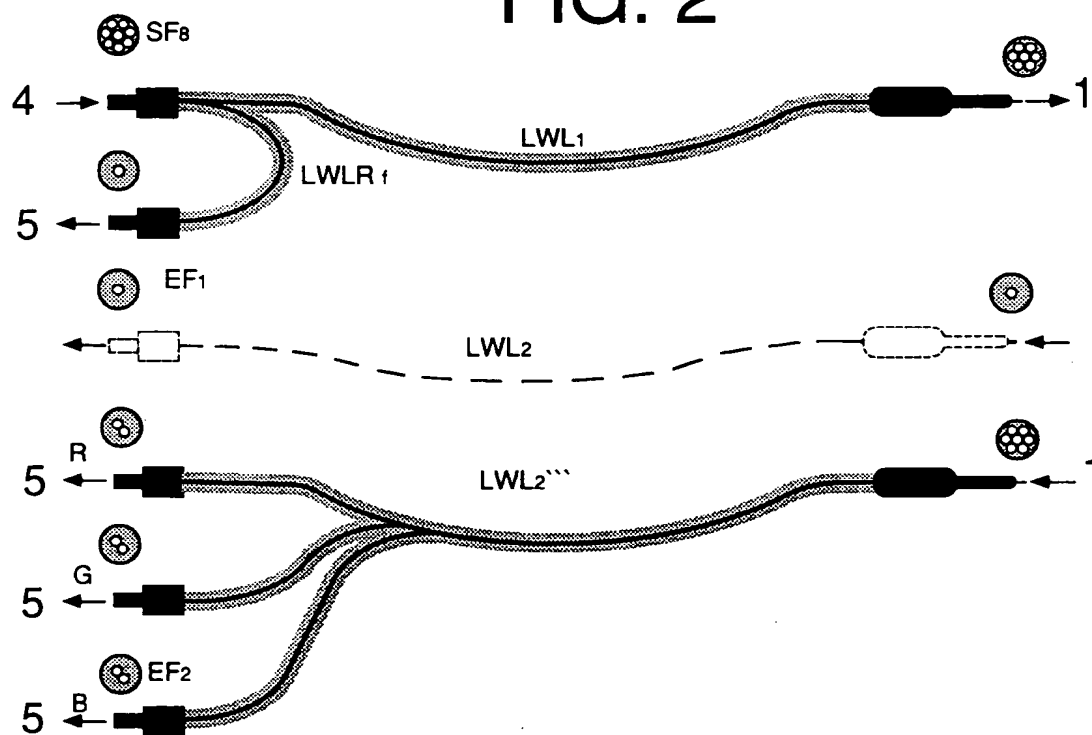


FIG. 3

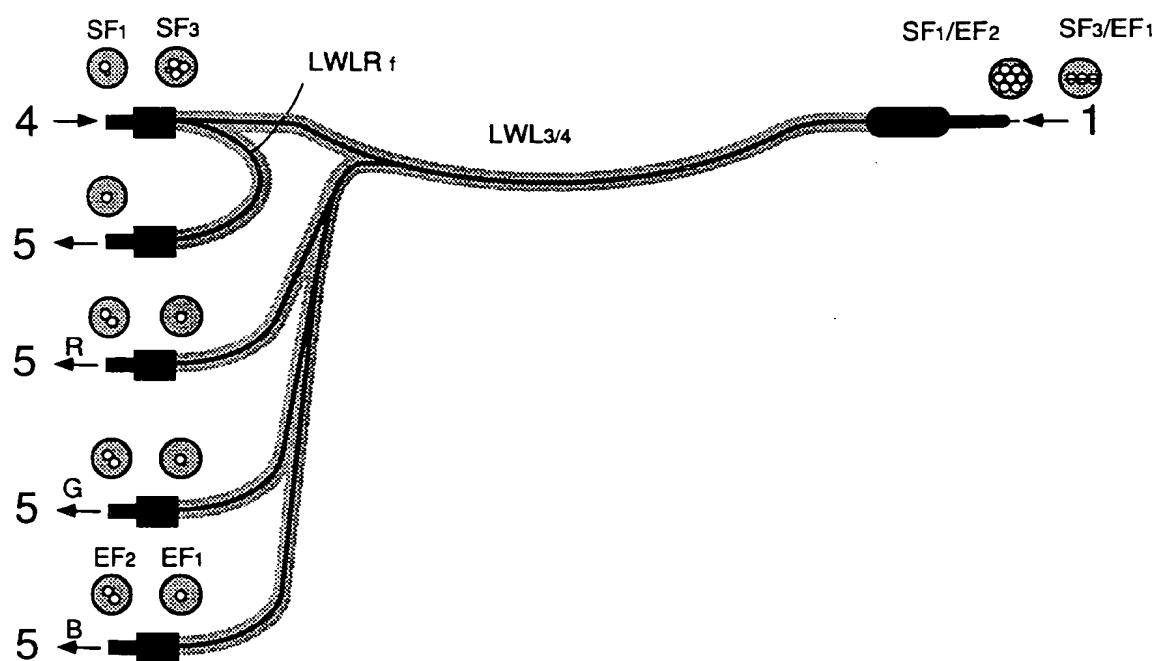




FIG. 4

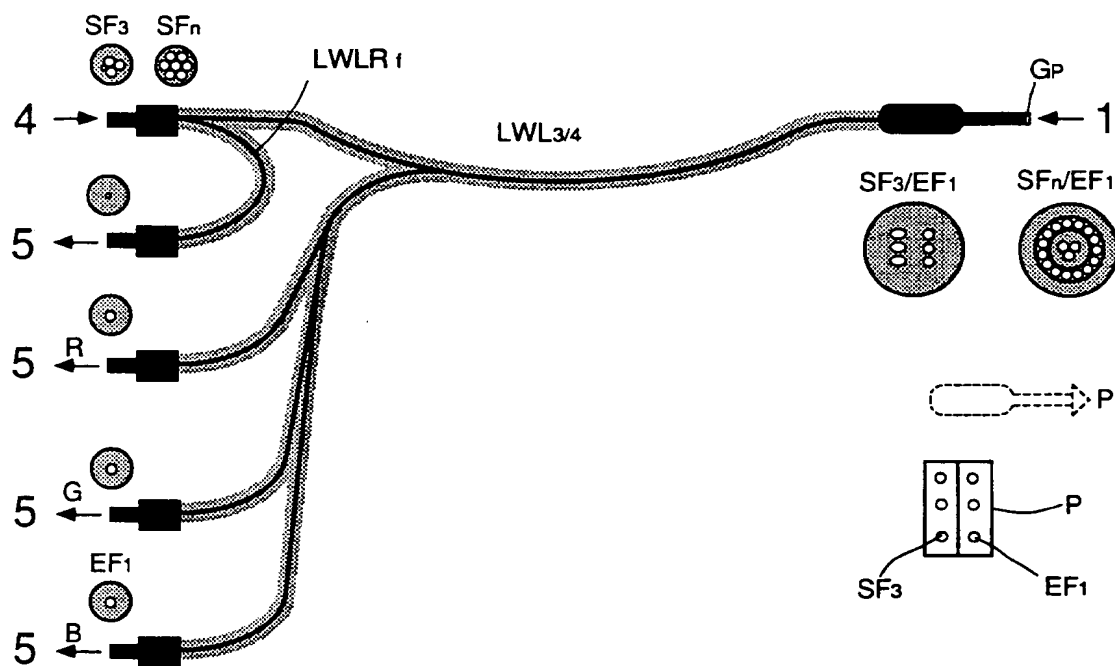


FIG. 5

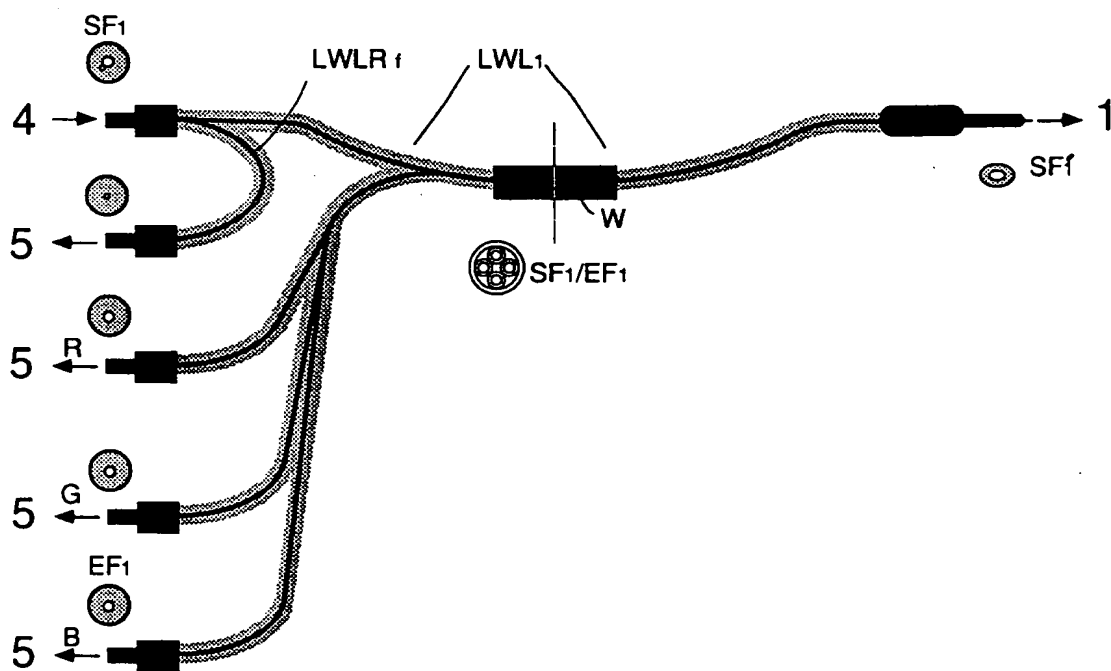


FIG. 6

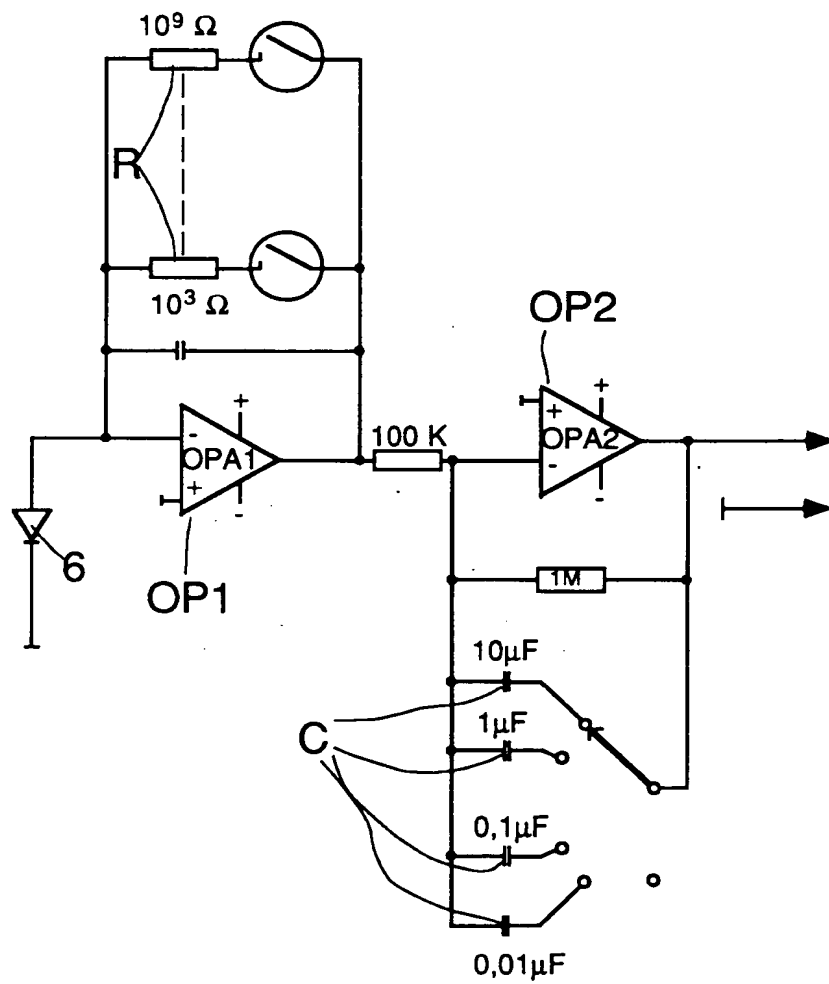
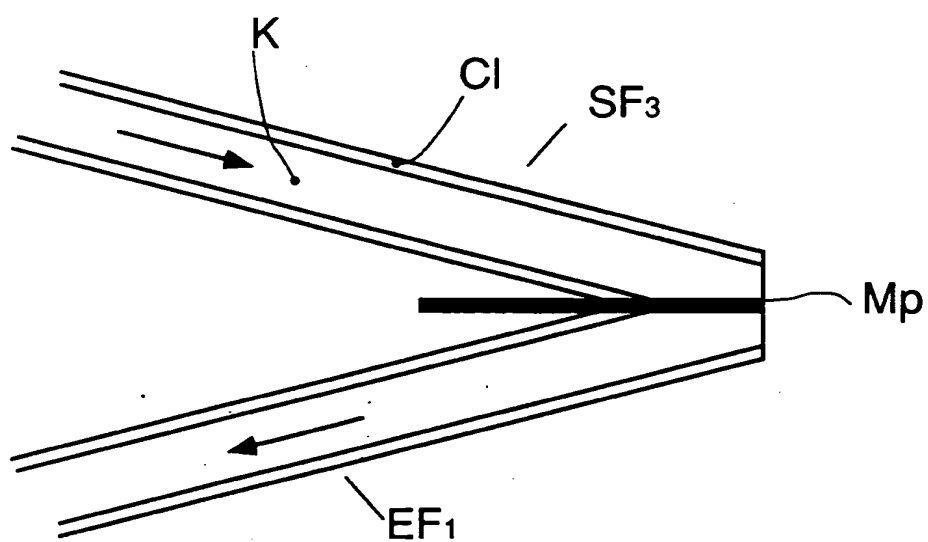


FIG. 7





Europäisches  
Patentamt

## EUROPÄISCHER RECHERCHENBERICHT

Nummer der Anmeldung

EP 91 11 2286

EINSCHLÄGIGE DOKUMENTE			
Kategorie	Kennzeichnung des Dokuments mit Angabe, soweit erforderlich, der maßgeblichen Teile	Betrifft Anspruch	KLASSIFIKATION DER ANMELDUNG (Int. C1.5)
A	DE-A-2 231 873 (VEREINIGUNG ZUR FÖRDERUNG DES INSTITUTS FÜR KUNSTSTOFFVERARBEITUNG IN INDUSTRIE UND HANDWERK AN DER RHEIN.-WESTF. TECHN. HOCHSCHULE AACHEN E.V.) * Seite 3; Figur 1 *	1	G 01 N 15/14 G 01 N 21/85 G 01 N 21/53
A	TM TECHNISCHES MESSEN Band 56, Nr. 7/8, Juli/August 1989, Seiten 285-290; H. DANIGEL et al.: "Faseroptisches Photometer für die Chemie-Prozessmesstechnik" * Figur 3 *	1	
A	FR-A-2 453 399 (CENTRE DE RECHERCHES EN MACHINES THERMIQUES) * Ansprüche 1-6; Figur 1 *	1	
A	WO-A-8 809 494 (SOCIETE NATIONALE ELF AQUITAINE) * Figuren 1-3 *	1	
Der vorliegende Recherchenbericht wurde für alle Patentansprüche erstellt			RECHERCHIERTE SACHGEBIETE (Int. C1.5)  G 01 N C 02 F
Recherchenort  Berlin		Abschlußdatum der Recherche  18 November 91	Prüfer  BRISON O.P.
<b>KATEGORIE DER GENANNTEN DOKUMENTE</b> X: von besonderer Bedeutung allein betrachtet Y: von besonderer Bedeutung in Verbindung mit einer anderen Veröffentlichung derselben Kategorie A: technologischer Hintergrund O: nichtschriftliche Offenbarung P: Zwischenliteratur T: der Erfindung zugrunde liegende Theorien oder Grundsätze  E: älteres Patentdokument, das jedoch erst am oder nach dem Anmeldedatum veröffentlicht worden ist D: in der Anmeldung angeführtes Dokument L: aus anderen Gründen angeführtes Dokument  &: Mitglied der gleichen Patentfamilie, übereinstimmendes Dokument			